

Letzte Vorlesung:

1. Postulat

Zustandsraum $\stackrel{(*)}{\cong}$ unitärer Vektorraum \mathcal{H}

Zustand $\stackrel{(*)}{=} \text{normierter Vektor } \varphi \in \mathcal{H}$

Zustände können superponiert werden:

$$\begin{matrix} \downarrow & \downarrow \\ \varphi_1 & | & \varphi_2 \\ \uparrow & , & \downarrow \end{matrix}$$

$$\begin{matrix} \varphi_1 + \varphi_2 \\ \uparrow + \downarrow \end{matrix}$$

(*) d.h. \mathcal{H} komplexer VR ($\mathbb{K} = \mathbb{C}$) mit hermiteschem

Skalarprodukt $\langle \dots, \dots \rangle$:

$$\bullet \quad \langle \varphi, \psi \rangle = \langle \psi, \varphi \rangle^*$$

$$\bullet \quad \langle \varphi, \varphi \rangle > 0 \quad (\text{für } \varphi \neq 0)$$

$$\bullet \quad \langle \varphi, \lambda \psi \rangle = \lambda \langle \varphi, \psi \rangle = \langle \lambda^* \varphi, \psi \rangle$$

$$\bullet \quad \langle \varphi, \psi_1 + \psi_2 \rangle = \langle \varphi, \psi_1 \rangle + \langle \varphi, \psi_2 \rangle$$

Messung M_φ :

$$\varphi \in \mathcal{S}\mathcal{E}, |\mathcal{S}|=1$$

- positiv ("1") wenn Zustand φ vorliegt
- negativ ("0") wenn Zustand φ nicht vorliegt

Messpostulat (vorläufige Version)

Messung M_φ am System im Zustand ψ

positiv mit Wahrscheinlichkeit

$$p = |\langle \varphi, \psi \rangle|^2$$



$$\rightarrow p = |\langle \varphi, \psi \rangle|^2 = \cos^2 \alpha \in [0, 1]$$

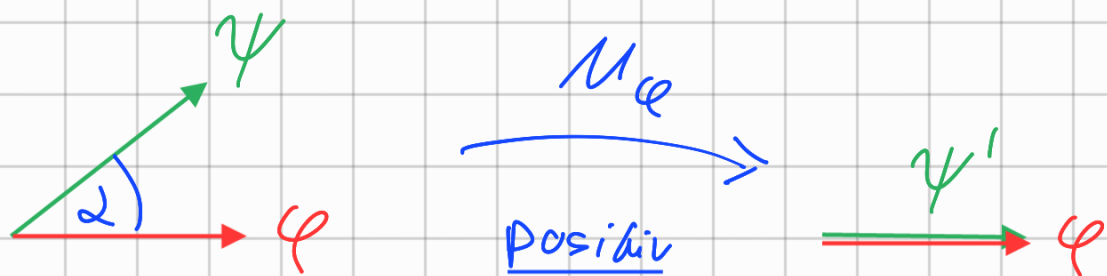
• $p=1 \Leftrightarrow \varphi \parallel \psi$

• $p=0 \Leftrightarrow \varphi \perp \psi$

QM: für $p \in]0, 1[$ Ergebnis prinzipiell nicht mit Sicherheit vorhersehbar: Indeterminismus

Zusatz:

Messung M_φ ideal : \Rightarrow nach positivem Ergebnis System im Zustand φ



(„Kollaps der Wellenfunktion“)

ideale Messung M_φ ermöglicht Präparation des Systems im Zustand φ !

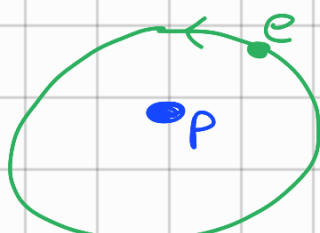
heute: exemplarische Anwendung der Postulate
im Stern-Gerlach-Experiment

(Frankfurt 1922)

→ Zweck?
~~~~ →

direkten Test der Bohr-Sommerfeldschen

Drehimpuls quantisierung !



$$\rightarrow |\vec{L}| \doteq \ell \cdot \hbar \quad (\text{Bohr 1913})$$

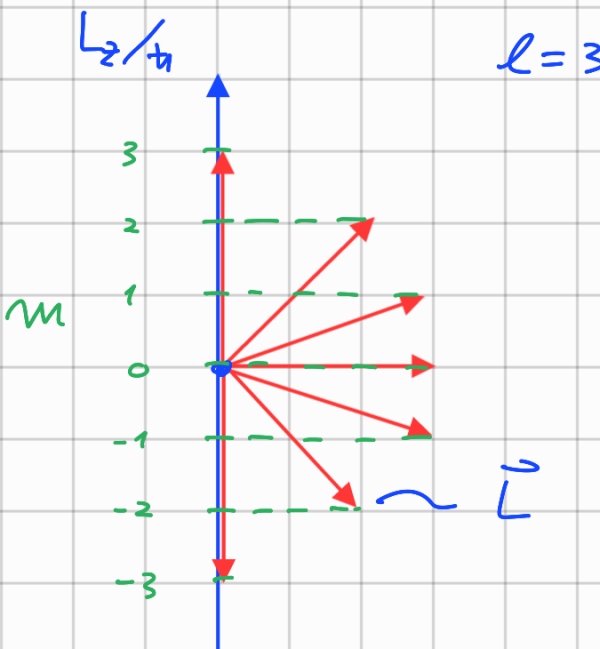
$$\hookrightarrow \ell = 1, 2, 3, \dots$$

$$L_z \doteq m \cdot \hbar \quad (\text{Sommerfeld 1916})$$

$$\hookrightarrow m = -\ell, -\ell+1, \dots, \ell-1, \ell$$

→ Bohrsches Atommodell → Spektren

Zeemanna-Effekt



"Richtungsquantisierung"

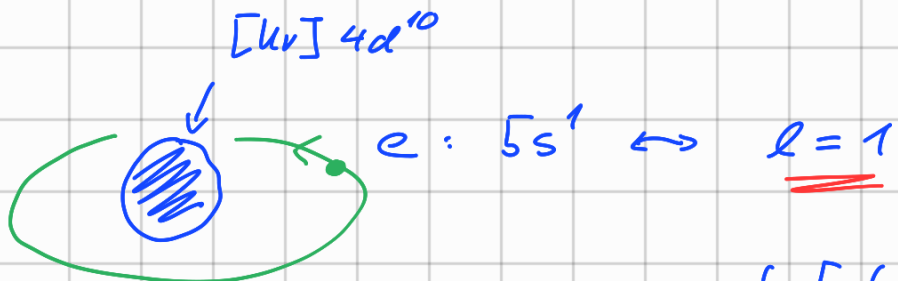
des Drehimpulses

bzgl. beliebigen Richtungen ??

O. Stern (1916): "Musinu!"



Experiment an Ag-Atomen:  $[Ag] = [Kr] 4d^{10} \underline{\underline{5s^1}}$



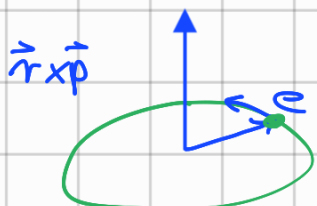
( falsche Vorstellung, da

Elektron-Spin noch  
unbekannt ! )



Drehimpuls  $\vec{L}$   $\longleftrightarrow$  magnetisches Dipolmoment

$$\underline{\underline{\vec{\mu}}} = \frac{e}{2me} \vec{L}$$



$$\rightarrow |\vec{L}| = \hbar l \quad \longleftrightarrow \quad |\vec{\mu}| = \mu_0 l$$

$$L_z = \hbar m \quad \longleftrightarrow \quad \mu_z = \mu_0 m$$

a. h.  $\mu_z$  quantisiert:  $-\mu_0, 0, +\mu_0$

$\mu_0 = \frac{e\hbar}{2me}$  : Bohrscher Magnet

Klassische Vorstellung:  $\vec{\mu} = \mu_0 \hat{u}$



Zufällig orientiert

↳  $\mu_z$  kontinuierlich verteilt:

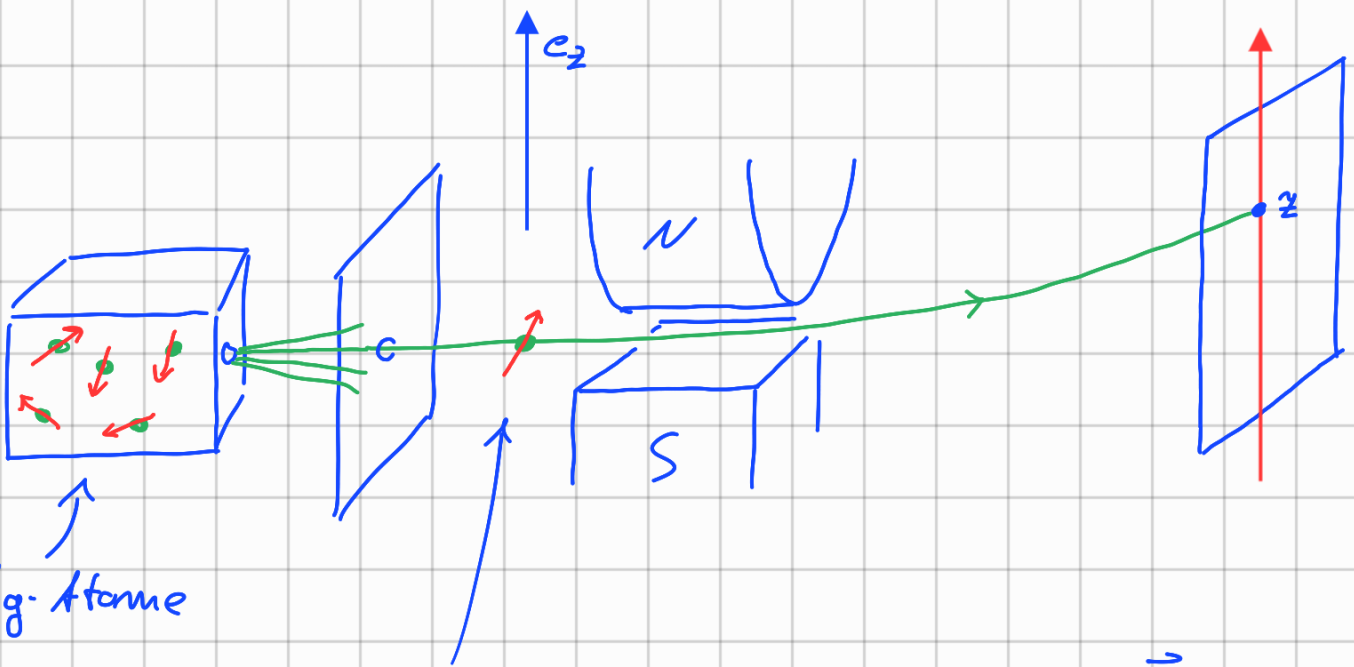
$$-\mu_0 \leq \mu_z \leq +\mu_0$$

$\mu_z$  quantisiert oder kontinuierlich?



Stern-Gerlach Experiment:

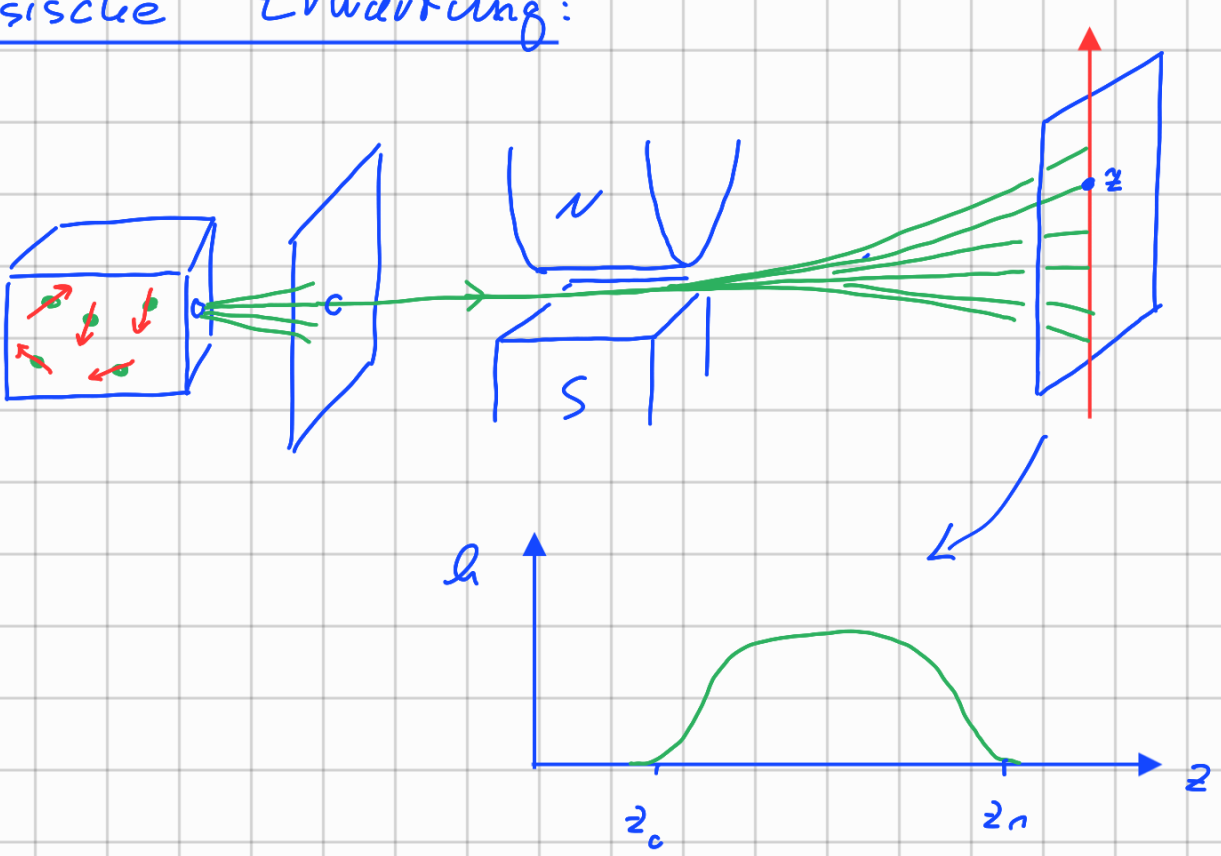
Ag.-Atome



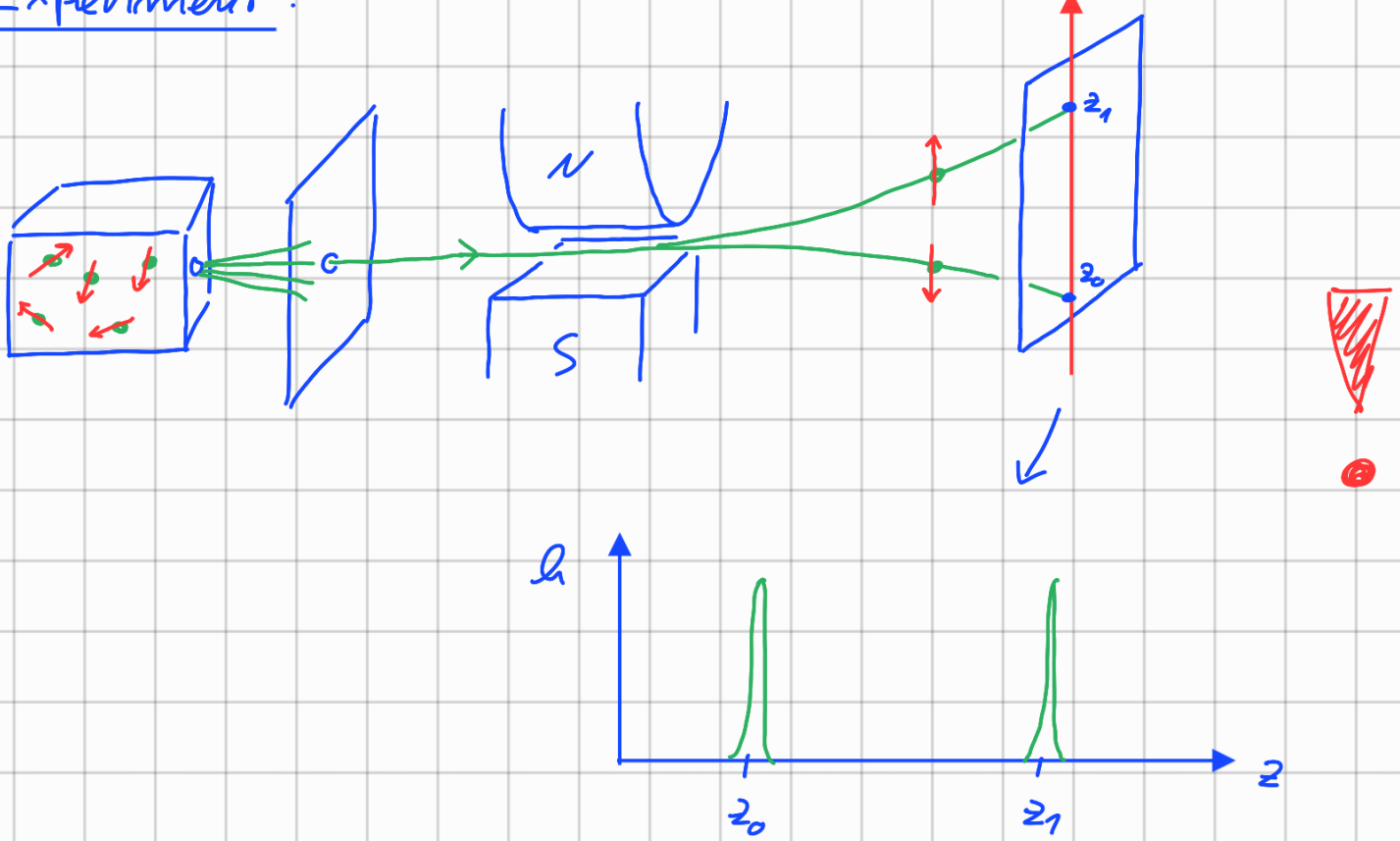
$$\vec{F} = \frac{\partial B_z}{\partial z} \cdot \underline{\mu_z} \vec{c_z}$$

→ Position  $z \propto \mu_z$

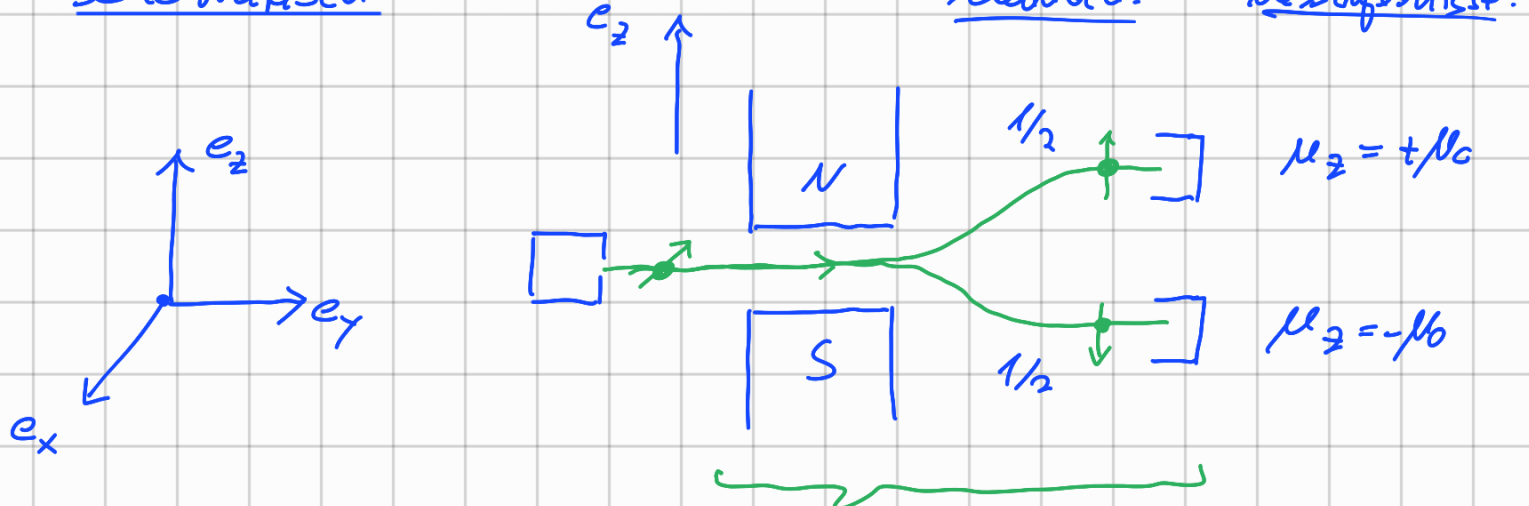
→ "klassische" Erwartung:



## Experiment:



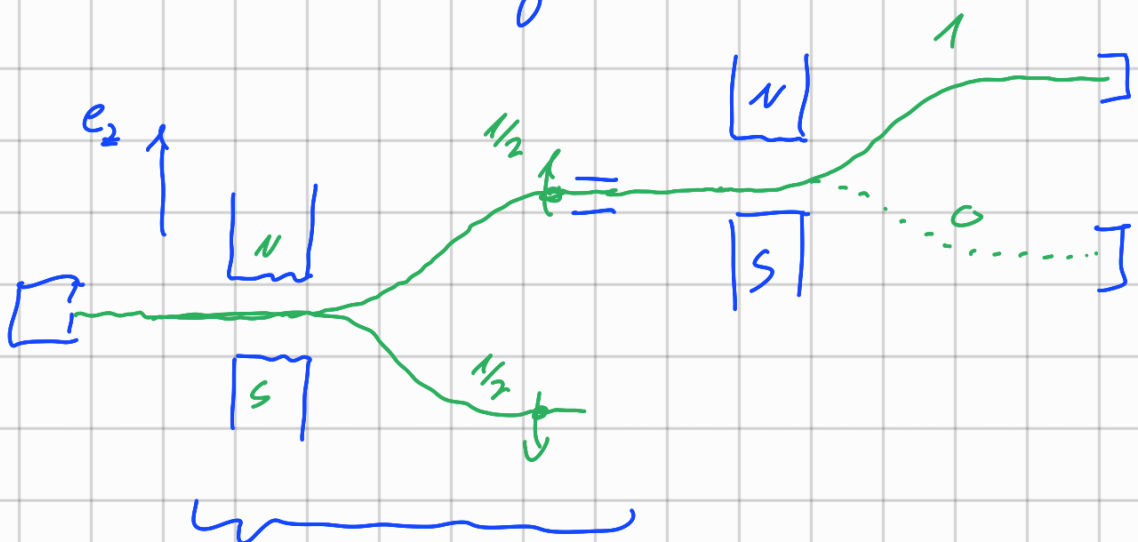
schematisch:



Messgerüst für  $\mu_2$ !

## weitere Experimente (schwach) :

1) wiederholte Messungen:

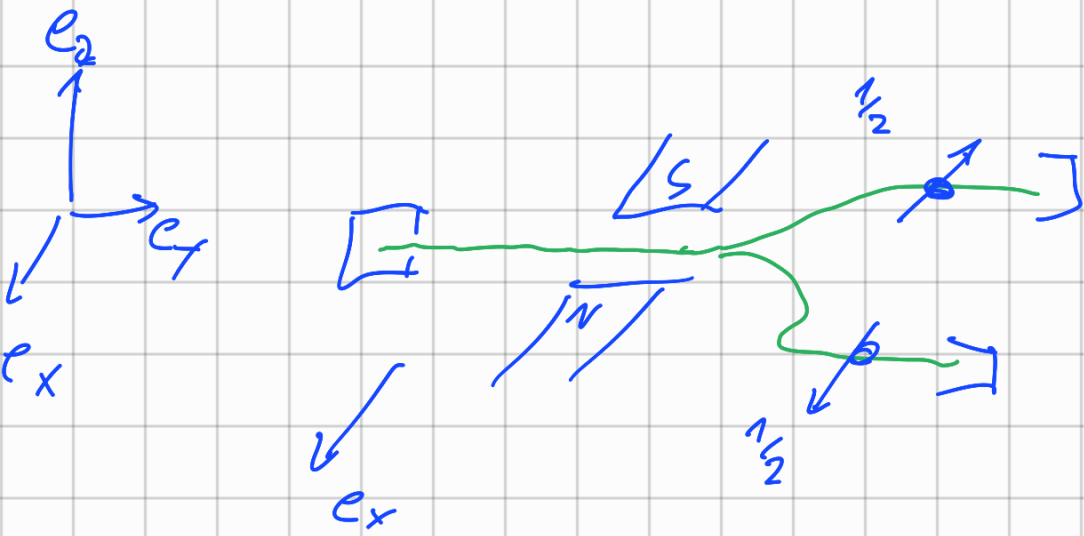


ideales Massenrat für  $\mu_2$

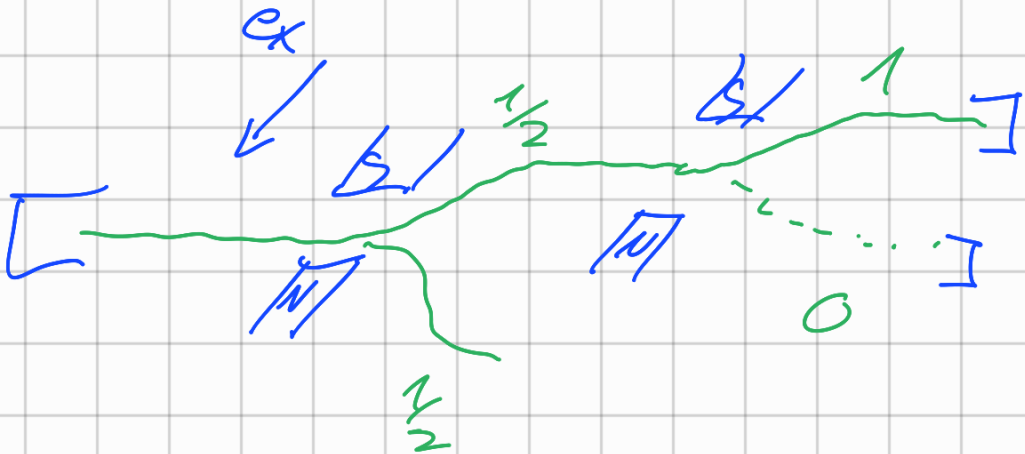
→ welldefinierte Zustände:

$$\mu_2 = +\mu_0, \quad \mu_2 = -\mu_0 !$$

2) Messung von  $\mu_{\frac{1}{2}}$

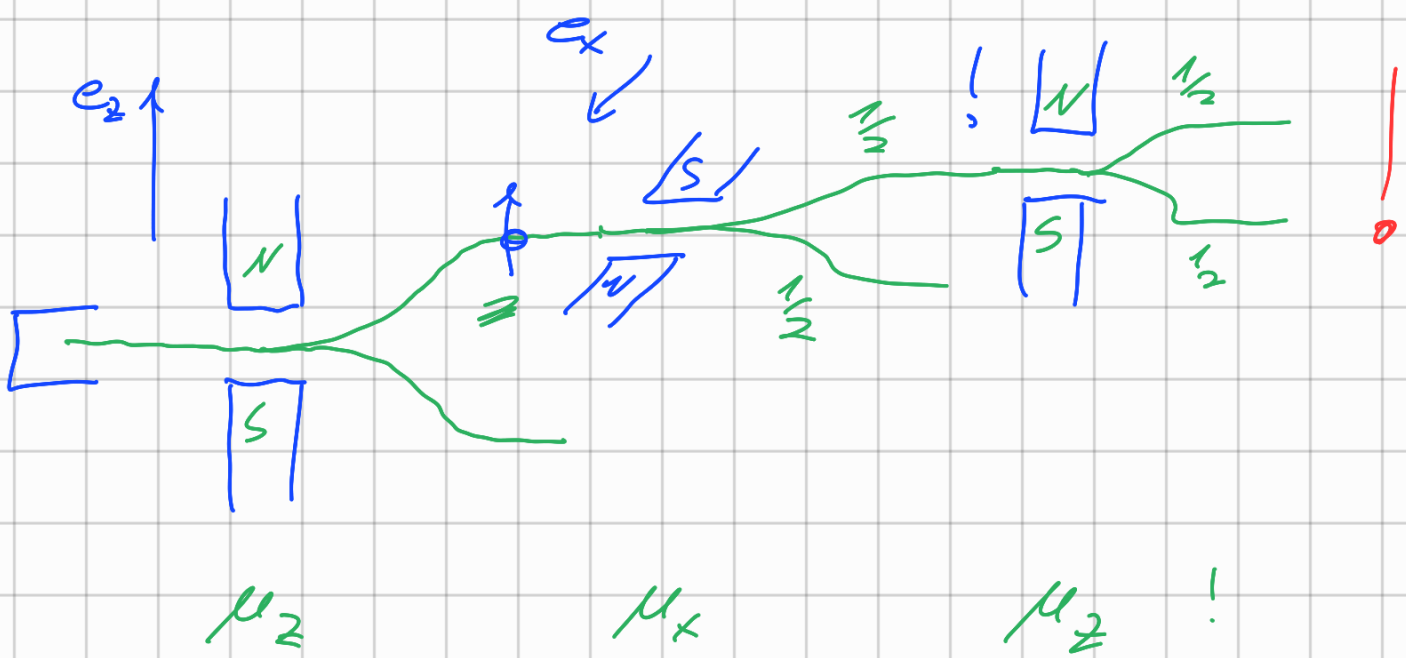


2b) Winkelvelo Messay:



Zufall:  $\mu_x = +\mu_0$ ,  $\mu_x = -\mu_0$

3) Kalibrierung von  $\mu_x$  aus  $\mu_2$  Messay:



Rotationsinvarianz!

## QM-Beschreibung des mag. Moments $\vec{\mu}$

(  $\cong$  Dualimpuls  $\vec{L} = \text{Spin } \vec{S}$  )

$$\text{Zustandsraum} = \underset{\text{---}}{\text{2-dim. VR}} \otimes \mathbb{C}^2$$

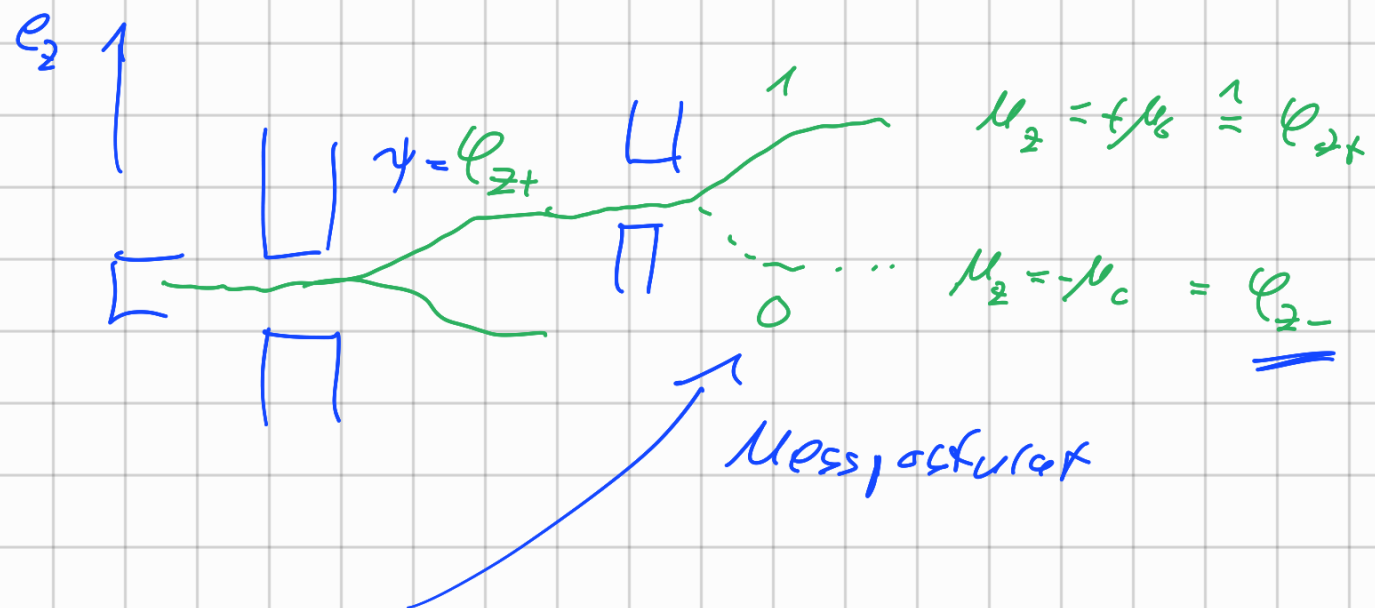
$M_2$  - Massley:

$$\text{Zestand } \ell_2 = +\mu_0 \quad \stackrel{\wedge}{=} \quad \ell_{2+} \in \mathcal{L}$$

$$\text{2 cosf und } \mu_2 = -\mu_0 \quad \stackrel{!}{=} \quad \ell_{2-} \in \mathcal{Z}$$

ununited.

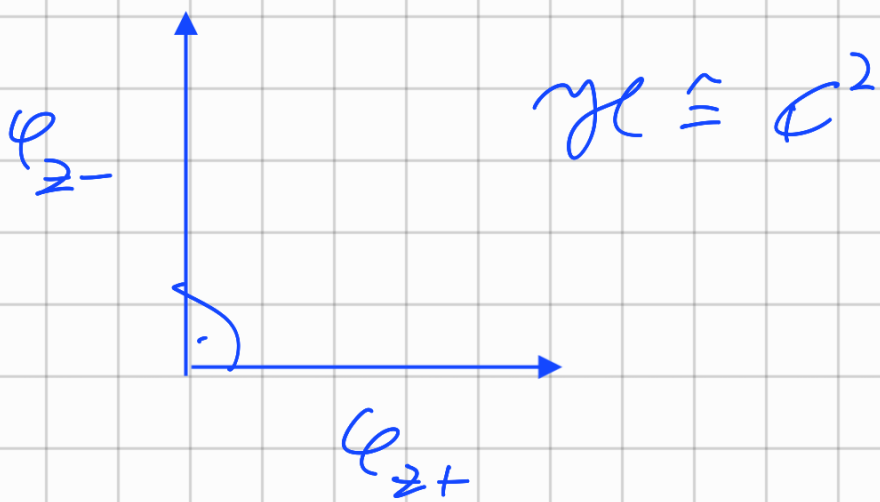
relative chirality  $\ell_{2+}$  und  $\ell_{2-}$ ?



$$0 = P_0 = |\langle \varphi_{2^-}, \varphi_{2^+} \rangle|^2 \rightarrow \langle \varphi_{2^-}, \varphi_{2^+} \rangle = 0$$

q. 6.

$$\varphi_{2+} + \varphi_{2-}$$



$$\gamma\ell \cong \mathbb{C}^2$$

•  $\mu_x$ -Messung: cewelos:

→ Standard  $\mu_x = +\mu_0$  :  $\varphi_{x+} \in \mathcal{X}$

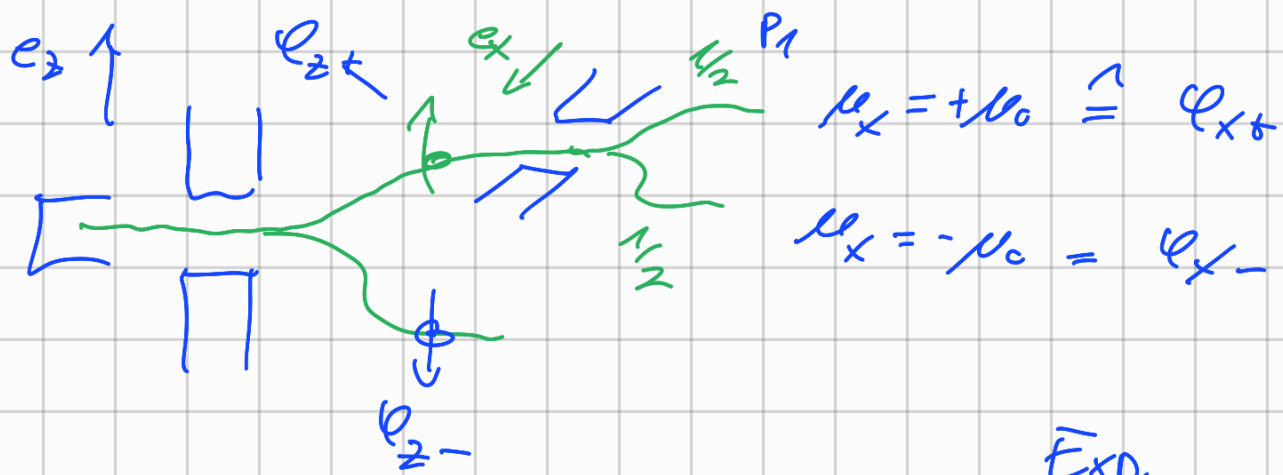
" " "  $\mu_x = -\mu_0$  :  $\varphi_{x-} \in \mathcal{X}$

$\varphi_{x+} \perp \varphi_{x-}$  !

relative Orientierung von  $\varphi_{x\pm}$

$\exists \mu \varphi_{2\pm} ?$

beobachtet: Kompl. Messung:



Klass. postulat (a):

Exp.

$$P_1 := |\langle \varphi_{x+}, \varphi_{z+} \rangle|^2 = \frac{1}{2}$$

$$P_2 = |\langle \varphi_{x-}, \varphi_{z+} \rangle|^2 = \frac{1}{2}$$

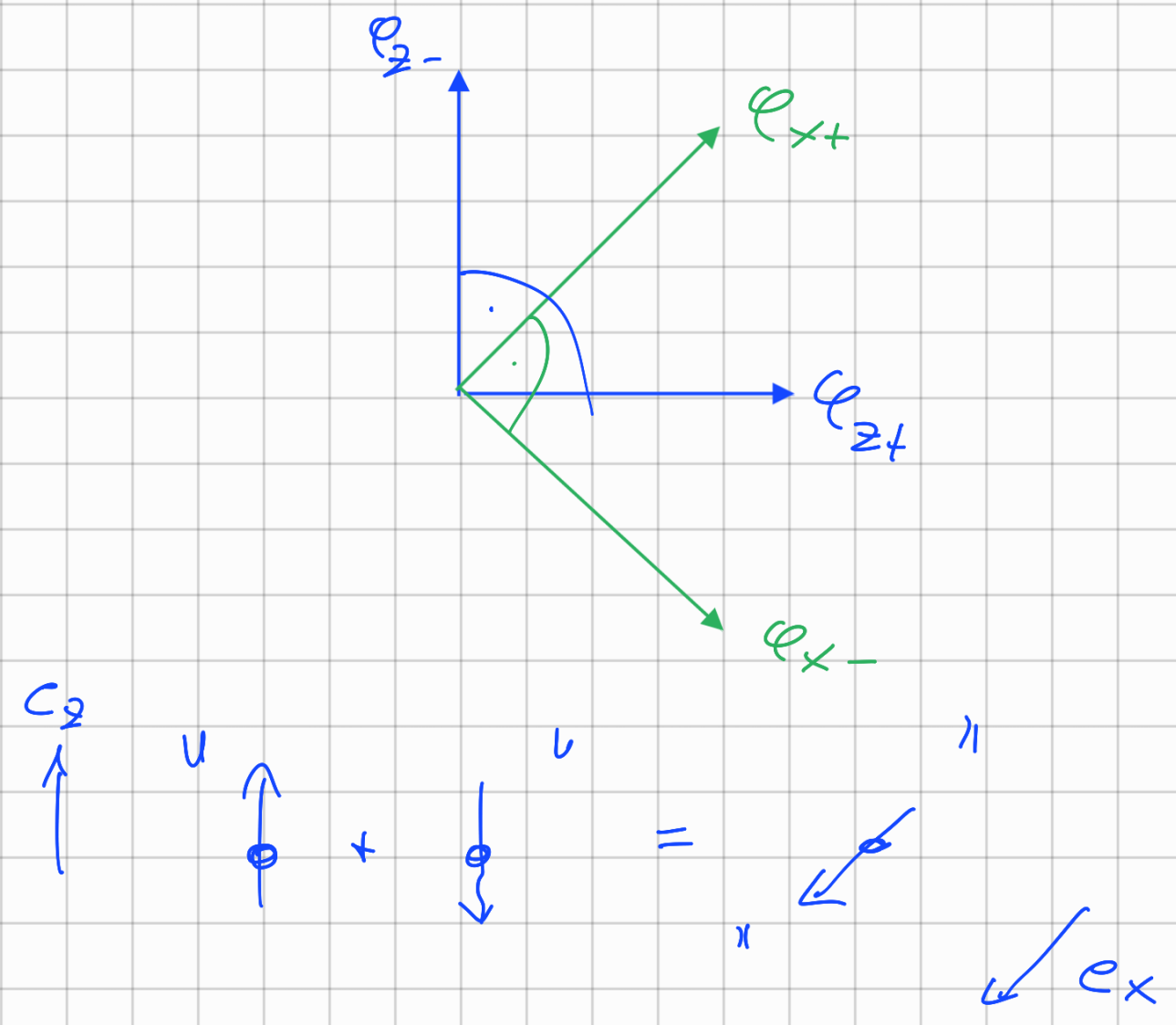
$$P_3 = |\langle \varphi_{x+}, \varphi_{z-} \rangle|^2 = \frac{1}{2}$$

$$P_4 = |\langle \varphi_{x-}, \varphi_{z-} \rangle|^2 = \frac{1}{2}$$

2. H. direkt:

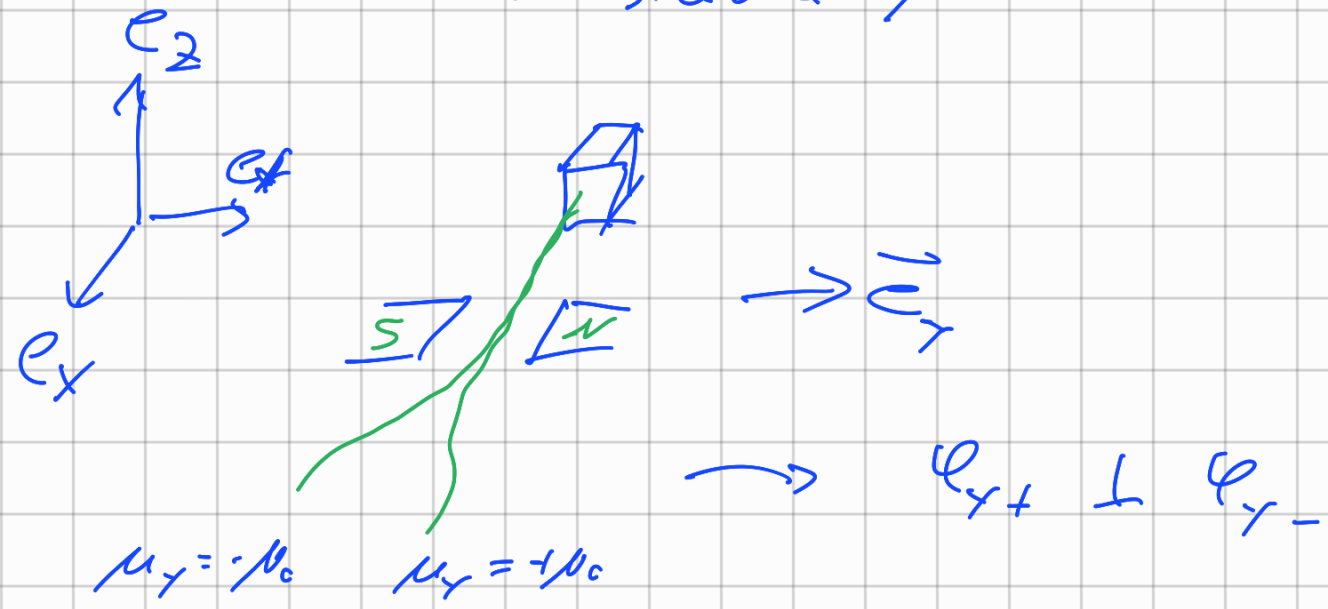
$$\varphi_{x+} := \frac{1}{\sqrt{2}} (\varphi_{z+} + \varphi_{z-})$$

$$\varphi_{x-} := \frac{1}{\sqrt{2}} (\varphi_{z-} - \varphi_{z+})$$

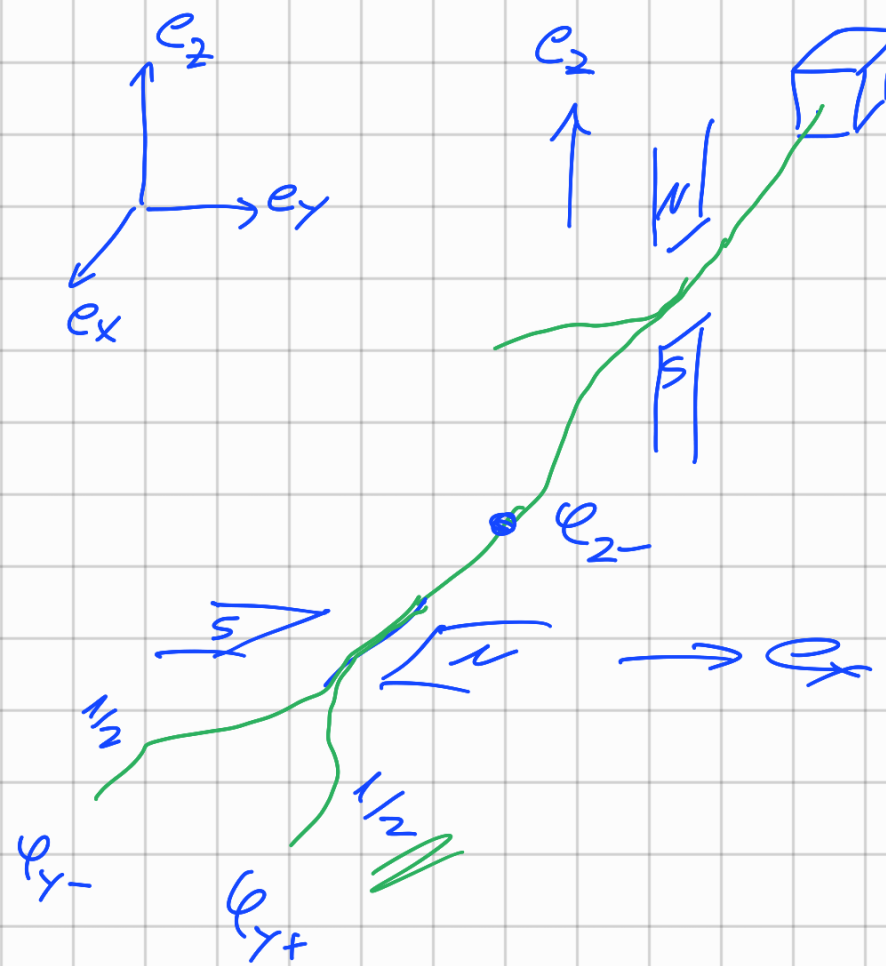


① Messung von  $\mu_y$  ?

→ Zcosförmige fl



Kombi.: Messungen:  $\mu_x$  und  $\mu_z$ :



$$|\langle \underline{\ell_{Y\pm}}, \underline{\ell_{Z\pm}} \rangle|^2 = \frac{1}{2}$$

Kombi.-Messung  $\mu_x$  und  $\mu_x$

analog:  $|\langle \underline{\ell_{Y\pm}}, \underline{\ell_{X\pm}} \rangle|^2 = \frac{1}{2}$

$$\rightarrow \varphi_{Y+} = \frac{1}{\sqrt{2}} \left( \varphi_{Z+} + \cancel{i} \varphi_{Z-} \right)$$

$$\varphi_{Y-} = \frac{1}{\sqrt{2}} \left( \varphi_{Z+} - \cancel{i} \varphi_{Z-} \right)$$